

## 第二章：数字图像基础

### 视觉感知要素

人视觉是由眼睛中锥状体和杆状体组成的。低照明级别杆状体起作用。在背景照明增强时锥状体起作用。

### 光和电磁波谱

λ
=



c
ν


E
=
h
ν
 可见光的波长范围：约 400~700nm 



Δ

I

e


/

I


 称为韦伯比

辐射强度:光源发出能量总量;光通量给出观察者从光源感受到的能量,用流明数量度;亮度是光感受的主观描绘，不能测量，描述彩色感觉参数之一；灰度级用来描述单色光图像的亮度

### 图像感知与获取

传感器:CCD,CMOS

### 简单的成像模型

*f*(*x*,*y*) = *i*(*x*,*y*)*r*(*x*,*y*),其中*i*(*x*,*y*)为入射分量(低频)，*r*(*x*,*y*)为反射分量(高频)

其中0 ≤ *f*(*x*,*y*),*i*(*x*,*y*) < ∞ 0 ≤ *r*(*x*,*y*) ≤ 1;r=0 全吸收,l 全反射

### 图像取样和量化

对坐标值进行数字化称为取样,对幅度值进行数字化称为量化,原点位于图像的左上角，x 轴向下，y 轴向右

坐标索引：像二维坐标(*x*,*y*);线性索引通过计算到坐标(0, 0)的偏移量得到的,行/列扫描

空间分辨率：图像中可辨别的最小细节 灰度分辨率：灰度级中可分辨的最小变化;打印机单位距离可以分辨的最小线对数 DPI;数字图像:图像大小，即行数 x 列数 PPI

图像对比度：一幅图像中最高和最低灰度级间的灰度差为对比度。

基本的图像重取样方法：图像内插。有最近邻内插;常选用双线性(v(x, y) = ax + by + cxy + d 四个系数可用 4 个最近邻点的 4 个未知方程求出)和双三次内插。

### 像素间的一些基本关系

*N*<sub>4</sub>(*p*)上下左右,*N*<sub>*D*</sub>(*p*)四个对角,*N*<sub>8</sub>(*p*) = *N*<sub>4</sub>(*p*) ∪ *N*<sub>*D*</sub>(*p*)

值域 V，V 是 0 到 255 中的任一个子集

4 邻接:点 q 在 *N*<sub>4</sub>(*p*)中，并 q 和 p 具有 V 中的数值

8 邻接:点 q 在 *N*<sub>8</sub>(*p*)中，并 q 和 p 具有 V 中的数值

m 邻接(混合邻接): 1.q 在 p 的 *N*<sub>4</sub>(*p*) 或者 2.q 在 p 的 *N*<sub>*D*</sub>(*p*)中，




N

4


(
P
)
∩

N

4


(
Q
)


中没有 V 值的像素 欧氏距离(De): *D*<sub>*e*</sub>(*p*,*q*) = 





√



(
x
−
s

)

2


+
(
y
−
t

)

2





 街区距离(D4): *D*<sub>4</sub>(*p*,*q*) = |*x* − *s*| + |*y* − *t*|

棋盘距离(D8): *D*<sub>8</sub>(*p*,*q*) = max(|*x* − *s*|, |*y* − *t*|)

### 对应元素运算和矩阵运算

图像相加：取平均降噪。相减：增强差别。相乘和相除：校正阴影。

三个基本量用于描绘彩色光源的质量：发光强度、光通量和亮度。

一幅数字图像占用的空间：*M* × *N* × *k*。

## 第三章：灰度变换与空间滤波

### 基本的灰度变换

反转变换*S* = *L* − 1 − *r* ;增强暗色区域中的白色或灰色细节;

对数变换*S* = *c*log(1 + *r*) ;将范围较窄的低灰度值映射为范围较宽的

幂律(伽马)变换*s* = *c**r*<sup>γ</sup> ;γ < 1 变亮,加强暗细节;反之变暗,加强亮细节;可增强对比度

分段线性变换:

1.对比度拉伸:提高灰度级的动态范围,改善对比度;

2.灰度级分层:突出某区间灰度,其他位置可不变也可降级;

3.比特平面分层:8bit 灰度图分割成 8 个比特面,(左)高位表示主体信息,低位给出不同程度的细节

### 直方图处理

直方图容器:*h*(*r*<sub>*k*</sub>) = *n*<sub>*k*</sub>,



 
k
=
0
,
1
,
2
,
⋯
,
L
−
1
;

n

k


是 f 中灰度为*r*<sub>*k*</sub>的像素的数量; *k* 越大越白

直方图:对容器归一化*p*(*r*<sub>*k*</sub>) = 






h
(

r

k


)


M
N


=



n

k



M
N

无空间信息,不同图像可能直方图相似,同一图像切片的直方图有可加性;若一幅图像其像素占有全部可能的灰度级并且分布均匀，这样的图像灰度对比度 高、细节会相对明显

### 均衡化

假设*s* = *T*(*r*)在0 ≤ *r* ≤ *L* − 1，



T
(
r
)


严格单调递增且0 ≤ *T*(*r*) ≤ *L* − 1。

变换前后的 pdf 为*p*<sub>*r*(*r*)</sub>,*p*<sub>*s*(*s*)</sub>

若*T*(*r*)还可微，有*p*<sub>*s*</sub>(*s*) = *p*<sub>*r*</sub>(*r*)|






d
r


d
s



|

连续情况*s* = *T*(*r*) = (*L* − 1) 




∫

r


0




p

r


(
w
)
d
w


∫

L
−
1


0




p

r


(
w
)
d
w



 变换后*p*<sub>*s*</sub> = 






1


L
−
1



完全平坦

离散情况*s*<sub>*k*</sub> = *T*(*r*<sub>*k*</sub>) = (*L* − 1) 




∑

j
=
0


k




p

r


(

r

j


)


∑

j
=
0


L
−
1




p

r


(

r

j


)



 = (*L* − 1) 




∑

j
=
0


k




n

r


j




M
N



 无法得到完全平坦的分布

目的:使图像产生灰度级丰富且动态范围大的图像灰度;期望得到均匀分布直方图;数字图像均衡化只是连续情况的近似;简并:灰度级减少了（不同的灰度变换到同一灰度）

### 匹配(规范化)

使得直方图变换到规定的分布;均衡可以看作是匹配的特例

输入原始图*p*<sub>*r*(*r*)</sub>，目标图像*p*<sub>*s*(*z*)</sub>，求输入*r*到输出*z*的变换公式

把原始图像和目标图像都用均衡化的作为桥梁

连续：原图均衡化*s* = *T*(*r*) = (*L* − 1) 




∫

r


0




p

r


(
w
)
d
w


∫

L
−
1


0




p

r


(
w
)
d
w



; 目标图均衡化*s* = *G*(*z*) = (*L* − 1) 




∫

z


0




p

z


(
ν
)
d
ν


∫

L
−
1


0




p

z


(
ν
)
d
ν

离散：*q*<sub>*k*</sub>,*k* ∈ [0, *L* − 1] *s*<sub>*k*</sub> = *T*(*r*<sub>*k*</sub>) = (*L* − 1) 




∑

j
=
0


k




p

r


(

r

j


)


∑

j
=
0


L
−
1




p

r


(

r

j


)



; *s*<sub>*k*</sub> = *G*(*z*<sub>*q*</sub>) = (*L* − 1) 




∑

i
=
0


q




p

z


(

z

i


)


∑

i
=
0


L
−
1




p

z


(

z

i


)



;

*z*<sub>*q*</sub> = *G*<sup>−1</sup>(*s*<sub>*k*</sub>)

*s*<sub>*k*</sub>定义域和值域都是离散且有限,可用一表格记录其对应关系，并采用遍历方式找到最优匹配值,无需求逆

### 局部处理

图像/图像块(全局/局部)的统计距计算

设*p*(*r*<sub>*i*</sub>) = 






n

i




n


,



 
i
=
0
,
1
,
2
,
⋯
,
L
−
1

灰度级*r*相对于均值 *m*的*n*阶中心矩为：




μ

n


(
r
)
=



∑

i
=
0


L
−
1




(

r

i


−
m

)

n




p

(

r

i


)

*m* 是 *r* 的均值:*m* = 




∑

i
=
0


L
−
1




r

i


p
(

r

i


)


∑

i
=
0


L
−
1




p
(

r

i


)



 衡量明暗程度

*n* = 2为方差:σ<sup>2</sup> = 




μ

2


(
r
)
=



∑

i
=
0


L
−
1




(

r

i


−
m

)

2




p
(

r

i


)


∑

i
=
0


L
−
1




p
(

r

i


)



 衡量灰度变化的程度

局部直方图处理:设置一个函数,对满足特定的 *m* 和σ的邻域进行变换,其他不变

### 空间滤波

#### 线性空间滤波

对于大小为*m* × *n*(行 x 列)的核，*m* = 2*a* + 1和*n* = 2*b* + 1,其中 a 和 b 是非负整数。

w 是个二维矩阵,左上角从(-a,-b)开始,f 左上角从(0,0)开始

*g*(*x*,*y*) = 




∑

s
=
−
a


a




∑

t
=
−
b


b



w
(
s
,
t
)
f
(
x
+
s
,
y
+
t
)

新像素是旧像素线性组合;核中心和原图左上角开始对齐运算

#### 空间相关与卷积

一维核旋转 180°相当于这个核绕相对于其轴进行翻转。

二维旋转 180°等效于核关于其一个轴翻转，然后关于另一个轴翻转。

相关(*w* ★ *f*)(*x*,*y*) = 




∑

s
=
−
a


a




∑

t
=
−
b


b



w
(
s
,
t
)
f
(
x
+
s
,
y
+
t
)

卷积(*w* ★ *f*)(*x*,*y*) = 




∑

s
=
−
a


a




∑

t
=
−
b


b



w
(
s
,
t
)
f
(
x
−
s
,
y
−
t
)


 等同于将核旋转 180 度后再做相关

卷积满足交换，结合，分配律;相关只满足分配律

N 输出大小，W 输入大小，P 填充大小，S 步长 F 卷积核大小

*N* = 






(
W
−
F
+
2
P
)


S



 + 1

两个滤波器大小为*M* × *M*和*N* × *N*，卷积后的大小是(*M* + *N* − 1) × (*M* + *N* − 1)

#### 可分离滤波器核

大小为 *m* × *n* 的滤波核可表示为两个向量的积 *w* = *w*<sub>1</sub>*w*<sub>2</sub><sup>*T*</sup> = *w*<sub>1</sub> ★ *w*<sub>2</sub>

*w*<sub>1</sub>*w*<sub>2</sub>为*m* × 1,*n* × 1列向量

(一个列向量和一个行向量的积等于这两个向量的二维卷积)

可分离核执行卷积相对于不可分离核执行卷积的计算优势:*C* = 






M
N
m
n


M
N
(
m
+
n
)



 = 






m
n


m
+
n

可分离核条件：



r
a
n
k
(
w
)
=
1

分离方法：在核 w 中找到任何一个非零元素*a*,值为*E*；提取*a*所在的列与行，形成列向量*c*和*r*；




w

1


=
c
,

w

2


=



r


E

#### 平滑（低通）空间滤波器

降低相邻灰度的急剧过度，以减少无细节（噪声）；平滑通过对相邻像素求和（积分）实现。归一化确保亮度不变；低通滤波可去除“无关”细节；即比其核小很多的点/区域

*g*(*x*,*y*) = 






∑

s
=
−
a


a




∑

t
=
−
b


b



w
(
s
,
t
)
f
(
x
+
s
,
y
+
t
)


∑

s
=
−
a


a




∑

t
=
−
b


b



w
(
s
,
t
)

盒式线性滤波 






1
9



×


(


1
1
1


1
1
1


1
1
1


)



 一般线性平滑 






1
16



×


(


1
2
1


2
4
2


1
2
1


)

盒式滤波器:每个元素相同;核越大,对越多像素做平均,其平滑程度越明显，细节丢失越多；高斯核函数 *w*(*s*,*t*) = *G*(*s*,*t*) = *K**e*<sup>−


s

2


+

t

2



2
σ

2</sup> 一般选核大小奇数接近6σ 对同一图像，高斯核越大越模糊；圆对称：到中心点距离一样，则对应系数一样的;可分离：可写成两个一维的高斯分布相乘形式 对比：高斯核更适合去噪和平滑处理;盒式核更适合锐化和边缘增强。

#### 锐化（高通）空间滤波器

凸显灰度的过渡部分，以增强图像中的细节。锐化用相邻像素差分（导数）来实现。

一维差分 






∂
f


∂
x



=
f
(
x
+
1
)
−
f
(
x
)


∂

2


f


∂

x

2



=
f
(
x
+
1
)
+
f
(
x
−
1
)
−
2
f
(
x
)

#### 拉普拉斯算子

连续：




∇

2


f
=



∂

2


f


∂

x

2



+



∂

2


f


∂

y

2

离散：




∇

2


f
=
[
f
(
x
+
1
,
y
)
+
f
(
x
−
1
,
y
)
+
f
(
x
,
y
+
1
)
+
f
(
x
,
y
−
1
)
]
−
4
f
(
x
,
y
)

常见拉普拉斯滤波器特点:1. 中心对称； 2. 中间值的绝对值大； 3. 和为零。

(


0
1
0


1
−
8
1


0
1
0


)



(


1
1
1


1
−
8
1


1
1
1


)



(


0
−
1
0


−
1
4
−
1


0
−
1
0


)



(


−
1
−
1
−
1


−
1
8
−
1


−
1
−
1
−
1


)

*g*(*x*,*y*) = 



{



f
(
x
,
y
)
−

∇

2


f
(
x
,
y
)
,


 
当拉普拉斯滤波中心系数为负


f
(
x
,
y
)
+

∇

2


f
(
x
,
y
)
,


 
当拉普拉斯滤波中心系数为正

#### 钝化掩蔽和高提升滤波

用于增强图像的细节和边缘

模糊图像*f*(*x*,*y*) 模板*g*<sub>*mask*</sub>(*x*,*y*) = *f*(*x*,*y*) − *f*



^
(*x*,*y*) 加权相加 *g*(*x*,*y*) = *f*(*x*,*y*) + *k**g*<sub>*mask*</sub>(*x*,*y*)

*k*=1 为钝化掩蔽 *k*>1 为高提升滤波 *k*<1 不强调钝化模板的贡献

#### 低通、高通、带阻和带通滤波器

单位冲激中心和滤波器核中心重合

低通 *lp*(*x*,*y*)，高通 *hp*(*x*,*y*) = δ(*x*,*y*) − *lp*(*x*,*y*)

带阻 *br*(*x*,*y*) = *lp*<sub>1</sub>(*x*,*y*) + *hp*<sub>2</sub>(*x*,*y*) = *lp*<sub>1</sub>(*x*,*y*) + [δ(*x*,*y*) − *hp*<sub>2</sub>(*x*,*y*)], 带通 *bp*(*x*,*y*) = δ(*x*,*y*) − *br*(*x*,*y*) = δ(*x*,*y*) − [*lp*<sub>1</sub>(*x*,*y*) + [δ(*x*,*y*) − *lp*<sub>2</sub>(*x*,*y*)]]

## 第四章：频率域滤波

在空域不好解决的问题，在频域上可能变得非常容易（性能及时间上）;不同于空域像素的调整，对频谱系数修改会作用于整个空域图像。空域适合：局部特征、实时操作、简单的像素级调整。频域适合：全局特征、复杂操作、周期性噪声去除、压缩等。

### 采样

周期冲激串 *s*<sub>Δ*T*</sub>(*t*) = 




∑

n
=
−
∞


∞



δ
(
x
−
n
Δ
T
)

取样后函数*f*



^
(*t*) = *f*(*t*)*s*<sub>Δ*T*</sub>(*t*) = 




∑

n
=
−
∞


∞



f
(
t
)
δ
(
t
−
n
Δ
T
)

积分得到取样点的值*f*<sub>*k*</sub>(*k*) = 




∫

−
∞


∞



f
(
t
)
δ
(
t
−
k
Δ
T
)
d
t
=
f
(
k
Δ
T
)

采样定理:采样率*f*<sub>*s*</sub>应大于等于信号最高频率的两倍，即*f*<sub>*s*</sub> > 2*f*<sub>max</sub>，否则会出现混叠现象。

### 单变量的傅里叶变换

连续 *f*(*t*) = 




∫

−
∞


∞



F
(
μ
)

e

j

2
π
μ
t



d
μ


 
F
(
μ
)
=

∫

−
∞


∞



;
f
(
t
)

e

−
j

2
π
μ
t



d
t

离散 *u*,



x
∈
[
0
,
M
−
1
]

*F*(*u*) = 




∑

m
=
0


M
−
1




f
(
x
)

e

−
j

2
π
u
x

/

M



; *f*(*x*) = 






1


M



∑

u
=
0


M
−
1




F
(
u
)

e

j

2
π
u
x

/

M

冲激性质:




∫

−
∞


∞



e

j

ω
t



d
ω
=
2
π
δ
(
t
)
;
f
(
t
)
δ
(
t
)
=
f
(
0
)
δ
(
t
)
;

∫

−
∞


∞



f
(
t
)
δ
(
t
−

t

0


)
d
t
=
f
(

t

0


)

∑

k
=
0


N
−
1




e

−
j

2
π
m
k


N



=


{


0,


 
如 
m
≡
0
(mod
N
)


∑

k
=
0


N
−
1




e

−
j

2
π
k


N



=
√
N
;


 
否 
则




; 




∫

−
∞


∞



e

−

a

2


x


d
x
=
√
π
;

∑

m
=
−
∞


∞



e

−

j

2
π
m
k


N



=
M
δ
(
k
)

δ(*k*, *l*) = δ(*k*) · δ(*l*) ; 




∑

x
=
0


M
−
1




∑

y
=
0


N
−
1




e

−
j
(


2
π
k
x


M


+


2
π
l
y


N


)


=
M
N
δ
(
k
,
l
)

### 二变量函数的傅里叶变换

二维傅里叶变换是一维情形向两个方向的简单扩展

*F*(*u*,*v*) = 




∫

−
∞


∞



∫

−
∞


∞



f
(
t
,
z
)

e

−
j

2
π
(
u
t
+
v
z
)



d
t
d
z
;
f
(
t
,
z
)
=

∫

−
∞


∞



∫

−
∞


∞



F
(
u
,
v
)

e

j

2
π
(
μ
t
+
ν
z
)



d
u
d
v

采样：



f
^


(
t
,
z
)
=
f
(
t
,
z
)

s

Δ

T


Δ

Z




(
t
,
z
)
=



∑

m
=
−
∞


∞



∑

n
=
−
∞


∞



f
(
t
,
z
)
σ
(
t
−
m
Δ
T
,
z
−
n
Δ
Z
)

DFT：*F*(*u*,*v*) = 




∑

x
=
0


M
−
1




∑

y
=
0


N
−
1




f
(
x
,
y
)

e

−
j

2
π
(
u
x

/

M
+
v
y

/

N
)

IDFT：*f*(*x</*

**卷积**  $(f \star h)(x,y) = \sum_{m=0}^{M-1} \sum_{n=0}^{N-1} f(m,n)h(x-m,y-n)$

**相关**  $(f \star h)(x,y) = \sum_{m=0}^{M-1} \sum_{n=0}^{N-1} f^*(m,n)h(x+m,y+n)$

**使用 DFT 算法求 IDFT**  $MNf^*(x,y) = \sum_{u=0}^{M-1} \sum_{v=0}^{N-1} F^*(u,v)e^{-j2\pi(ux/M+vy/N)}$  结果取复共轭并除以 MN 就可得到反变换;**共轭对称性** $F^*(-u,-v) = F^*(u,v)$

**离散单位冲激**  $\delta(x,y) \Leftrightarrow 1,1 \Leftrightarrow MN\delta(u,v)$

**卷积定理** $(f \star h)(x,y) \Leftrightarrow (F \cdot H)(u,v) \parallel (f \cdot h)(x,y) \Leftrightarrow \frac{1}{MN}(F \star H)(u,v)$

**平移性**  $f(x,y)e^{j2\pi(u_0x/M+v_0y/N)} \Leftrightarrow F(u-u_0,v-v_0)$

$f(x-x_0,y-y_0) \Leftrightarrow F(u,v)e^{-j2\pi(ux_0/M+vy_0/N)}$

$\delta(x-a,y-b) \Leftrightarrow e^{-j2\pi(ua+vb)}$

### 频率域滤波

(1)对图像 f(x,y)进行零填充(长宽均变为两倍，变为 $P \times Q$

(2)频谱中心化：用 $(-1)^{x+y} = e^{j\pi(x+y)}$ 乘以填充后的图像

(3)计算(2)结果的 DFT，即 $F(u,v)$ ;

(4)用滤波器函数(中心在(P/2,Q/2)) $H(u,v)$ 乘以 $F(u,v):G(u,v) = H(u,v)F(u,v)$

(5)计算(4)中结果的 IDFT,  $g(x,y) = F^{-1}(G(u,v))$ 理论值为实数，计算误差会导致寄生复成分

(6)得到(5)结果中的实部;

(7)用 $(-1)^{\{ (x+y) \}}$ 乘以(6)中的结果

(8)提取(7)中的左上角(与输入图像同大小)。

### 低通频率域滤波器

理想低通滤波器 ILPF  $D_0$  为截止频率; $D(u,v) = [(u-M/2)^2 + (v-N/2)^2]$ ;  $H(u,v) =$

$\begin{cases} 1, & D(u,v) \leq D_0, \\ 0, & D(u,v) > D_0. \end{cases}$

截止频率位置 **D0** 决定了通过的频率成分所包含的功率, 以及在总功率中所占的比例

总功率  $P_T = \sum_{u=0}^{P-1} \sum_{v=0}^{Q-1} P(u,v) = \sum_{u=0}^{P-1} \sum_{v=0}^{Q-1} |F(u,v)|^2$

在 D(u,v)内的功率占比  $\alpha = 100 \sum_u \sum_v P(u,v) / P_T$  where  $D(u,v) \leq D_0$

理想的低通滤波器无法通过电子元件实现;通过计算机模拟会出现模糊与振铃现象

巴特沃斯 BLPF  $H(u,v) = \frac{1}{1+[D(u,v)/D_0]^{2n}}$ ; 高斯 GLPF  $H(u,v) = e^{-D^2(u,v)/2D_0^2}$  无振铃效应

例子:低分辨率文本字符修复,面部柔和,去除传感器扫描线

### 高通滤波器

对低通滤波相反操作得到高通：

$H_{HP}(u,v) = 1 - H_{LP}(u,v)$ ;  $h_{HP} = \delta(x,y) - h_{LP}(x,y) \neq 1 - h_{LP}(x,y)$

理想 IHPF:  $H(u,v) = \begin{cases} 0, & D(u,v) \leq D_0 \\ 1, & D(u,v) > D_0 \end{cases}$

巴特沃斯:  $H(u,v) = \frac{1}{1+[D_0/D(u,v)]^{2n}}$ ; 高斯:  $H(u,v) = 1 - e^{-D^2(u,v)/2D_0^2}$

频域拉普拉斯算子:  $H(u,v) = -4\pi^2(u^2 + v^2)$  中心化版  $H(u,v) = -4\pi^2[(u-P/2)^2 + (v-Q/2)^2] = -4\pi^2 D^2(u,v)$

基于锐化滤波的图像增强 $g(x,y) = f(x,y) + c\nabla^2 f(x,y)$ ;其中二阶梯度傅里叶变换为 **H\*F**

高提升滤波:  $H_{hb}(u,v) = (A-1) + H_{hp}(u,v)$

高频加强滤波:  $H_{hfe}(u,v) = a + bH_{hp}(u,v)$  a 控制原始贡献，b 控制高通贡献

同态滤波  $H(u,v) = (\gamma_H - \gamma_L) [1 - e^{-c(D^2(u,v)/D_0^2)}] + \gamma_L$  衰减图像的低频成分（光照分量），增强高频成分（反射分量）

其中 $\gamma_L < 1$ 低频成分增益因且 $\gamma_H > 1$ 高频成分增益因子;c用于控制滤波器函数斜面的锐化

### 带阻滤波器

理想带阻(IBRF)  $H(u,v) = \begin{cases} 0 & C_0-\frac{W}{2} \leq D(u,v) \leq C_0+\frac{W}{2} \\ 1 & \text{其他情况} \end{cases}$  高斯带阻(GBRF)  $H(u,v) = 1 - e^{-\left(\frac{D^2(u,v)-C_0^2}{D(u,v)W}\right)^2}$

巴特沃斯带阻 (BBRF)  $H(u,v) = \frac{1}{1+\left(\frac{D(u,v)-C_0}{D^2(u,v)-C_0^2}\right)^{2n}}$  带阻作用:去除摩尔纹;去除周期干扰

### 快速傅里叶变换

利用傅里叶变换基底性质，将M个数据的傅里叶变换转为2组 $\frac{M}{2}$ 个数据的傅里叶变换，此时计算量从  $M^2$  降低为  $\frac{M^2}{2}$

$F(u) = \sum_{x=0}^{K-1} f(2x)W_{2K}^{u(2x)} + \sum_{x=0}^{K-1} f(2x+1)W_{2K}^{u(2x+1)}$  偶数部分+奇数部分  
 $W_M = e^{-j\frac{2\pi}{M}}$ ;  $W_M^{ux} = (W_M)^{ux} = e^{-j2\pi ux/M}$ ;  $W_{2K}^{2ux} = W_k^{ux}$

$F_{even}(u) = \sum_{x=0}^{K-1} f(2x)W_K^{ux}$   $F_{odd}(u) = \sum_{x=0}^{K-1} f(2x+1)W_K^{ux}$

$F(u) = F_{even}(u) + F_{odd}(u)W_{2K}^u$

$F(u+K) = F_{even}(u) - F_{odd}(u)W_{2K}^u$

## 第五章：图像复原与重建

### 图像退化/复原模型

建模图像退化为用 h 算子和 f 运算,加上加性噪声 $\eta$ ,生成一幅退化图像 g

空域:  $g(x,y) = (h \star f)(x,y) + \eta(x,y)$ ; 频域:  $G(u,v) = H(u,v)F(u,v) + N(u,v)$

### 噪声模型

**高斯**  $p(z) = \frac{1}{\sqrt{2\pi}\sigma}e^{-(z-\bar{z})^2/2\sigma^2}$ ; **瑞利**  $p(z) = \begin{cases} \frac{2}{\bar{z}}(z-\bar{z})e^{-(z-\bar{z})^2-\bar{z}} & ,z \geq \bar{a} \\ 0 & ,z < \bar{a} \end{cases} \parallel \bar{z} = a + \sqrt{\pi b/4}, \sigma^2 = \frac{b(4-\pi)}{4}$

**爱尔兰（伽马）**  $p(z) = \begin{cases} \frac{a^b b^{-1}}{\Gamma(b)} e^{-az} & ,z \geq 0 \\ 0 & ,z < 0 \end{cases} \parallel \bar{z} = \frac{b}{a}, \sigma^2 = \frac{b}{a^2}$  a>0,b 正整数

**指数**  $p(z) = \begin{cases} ae^{-az} & z \geq 0 \\ 0 & z < 0 \end{cases} \parallel \bar{z} = \frac{1}{a}, \sigma^2 = \frac{1}{a^2}$

**均匀**  $p(z) = \begin{cases} \frac{1}{b-a} & ,a \leq z \leq b \\ 0 & ,otherwise \end{cases} \parallel \bar{z} = \frac{a+b}{2}, \sigma^2 = \frac{(b-a)^2}{12}$ ; **椒盐**  $p(z) = \begin{cases} P_s & ,z=2^k-1 \\ P_p & ,z=0 \\ 1-(P_s+P_p) & ,z=V \end{cases}$

场景:高斯电子电路随机波动引起,或者传感器在低光照高温工作产生的噪声;瑞利模拟随机波动;伽马和指数模拟激光成像;均匀:随机数在指定范围内均匀分布;椒盐:成像设备中的瞬时故障或错误

噪声估计参数参数 $\bar{z} = \sum_{i=0}^{L-1} z_i p_S(z_i)$   $\sigma^2 = \sum_{i=0}^{L-1} (z_i - \bar{z})^2 p_S(z_i)$

### 只存在噪声的复原——空间滤波

仅被加性噪声退化后:  $g(x,y) = f(x,y) + \eta(x,y)$   $G(u,v) = F(u,v) + N(u,v)$  (噪声未知)

当仅有加性噪声时，可考虑空间滤波方法，利用图像相邻像素之间的的相似性，降低噪声的影响，甚至可以有效去除噪声。

### 均值滤波

$S_{xy}$ 表示中心在(x,y)，尺寸为 $m \times n$ 的矩形图像窗口

算术平均  $\hat{f}(x,y) = \frac{1}{mn} \sum_{(r,c) \in S_{xy}} g(r,c)$ ; ;平滑图像的局部变化;在模糊了结果的同时减少了噪声

几何平均滤波  $\hat{f}(x,y) = \left[ \prod_{(r,c) \in S_{xy}} g(r,c) \right]^{\frac{1}{mn}}$ ；平滑度可以与算术均值相比;图像细节丢失更少  
谐波平均滤波  $\hat{f}(x,y) = \frac{mn}{\sum_{(r,c) \in S_{xy}} \frac{1}{g(r,c)}}$  适用“盐粒”和 类似高斯噪声的噪声，不适用于“胡椒”;

反谐波平均  $\hat{f}(x,y) = \frac{\sum_{(r,c) \in S_{xy}} g(r,c) Q^{q+1}}{\sum_{(r,c) \in S_{xy}} g(r,c)^Q}$  Q 称为滤波器的阶数,>0 用于胡椒,<0 用于盐粒,=0 变为算数平均,=-1 变为谐波平均

### 统计排序

中值  $\hat{f}(x,y) = median_{(r,c) \in S_{xy}} \{g(r,c)\}$  与大小相同的线性平滑(均值)滤波相比，有效地降低某些随机噪声，且模糊度要小得多;对于单极和双极冲激噪声效果好

最大值  $\hat{f}(x,y) = \max_{(r,c) \in S_{xy}} \{g(r,c)\}$  发现最亮点;过滤胡椒

最小值  $\hat{f}(x,y) = \min_{(r,c) \in S_{xy}} \{g(r,c)\}$  发现最暗点;过滤盐粒

中点  $\hat{f}(x,y) = \frac{1}{2} \left[ \max_{(r,c) \in S_{xy}} \{g(r,c)\} + \min_{(r,c) \in S_{xy}} \{g(r,c)\} \right]$  统计排序滤波器和平均滤波器;适合处理随机分布的噪声，如高斯噪声和均匀噪声

修正后的阿尔法均值滤波  $\hat{f}(x,y) = \frac{1}{mn-d} \sum_{(r,c) \in S_{xy}} g_R(r,c)$

在S领域内去掉 $g(r,c)$ 最高灰度值的d/2 和最低灰度值的 d/2  $g_R(r,c)$ 代表剩余的 $mn-d$ 个像素.d = 0变为算数平均;d = mn-1变为中值;当 d 取其它值时，适用于包括多种噪声的情况下，例如高斯噪声和椒盐噪声混合的情况。

### 自适应

用  $S_{xy}$  的区域内图像的统计特征进行处理

自适应局部降噪

$g(x,y)$  表示噪声图像在点 $(x,y)$ 上的值; $\sigma_{\eta}^2$ 噪声方差  $\bar{z}_{S_{xy}}$  在  $S_{xy}$  上像素点的局部平均灰度; $\sigma_{S_{xy}}^2$  在  $S_{xy}$  上像素点的局部方差;假设  $\sigma_{\eta}^2 \leq \sigma_{S_{xy}}^2$

$\hat{f}(x,y) = g(x,y) - \frac{\sigma_{\eta}^2}{\sigma_{S_{xy}}^2} [g(x,y) - \bar{z}_{S_{xy}}]$

自适应中值

$z_{min}$ 是  $S_{xy}$  中的最小灰度值; $z_{max}$ 是  $S_{xy}$  中的最大灰度值; $z_{med}$ 是  $S_{xy}$  中的灰度值的中值; $z_{xy}$ 是坐标  $(x,y)$ 处的灰度值; $S_{max}$ 是  $S_{xy}$  允许的最大尺寸。

层次 A: 若  $z_{min} < z_{med} < z_{max}$ ,则转到层次B 否则，增  $S_{xy}$  的尺寸，

若  $S_{xy} \leq S_{max}$ ,则重复层次A 否则，输出  $z_{med}$

层次 B: 若  $z_{min} < z_{xy} < z_{max}$ ,则输出  $z_{xy}$  否则，输出  $z_{med}$

普通的中值消除噪声的同时导致图像细节明显缺失;自适应中值能够额外保留图像细节

### 频域滤波降低周期噪声

陷波滤波器:阻止或通过事先定义的频率矩形邻域中的频率  $H_{NR}(u,\nu) = \prod_{k=1}^Q H_k(u,\nu)H_{-k}(u,\nu)$

$H_k(u,\nu)$  和  $H_{-k}(u,\nu)$  分别是中心为  $(u_k,\nu_k)$  和  $(-u_k,-\nu_k)$  的高通滤波器传递函数; $D_k(u,v) = \left[ (u-M/2-u_k)^2 + (v-N/2-\nu_k)^2 \right]^{1/2}$ ;  $D_{-k}(u,v) = \left[ (u-M/2+u_k)^2 + (v-N/2+\nu_k)^2 \right]^{1/2}$

n 阶巴特沃斯陷波带阻(3 陷波对)  $H_{NR}(u,\nu) = \prod_{k=1}^3 \left[ \frac{1}{1+[D_{0k}/D_k(u,\nu)]^n} \right] \left[ \frac{1}{1+[D_{0k}/D_{-k}(u,\nu)]^n} \right]$

陷波带通滤波器(NR 为带阻)  $H_{NP}(u,\nu) = 1 - H_{NR}(u,\nu)$

存在多个干扰分量时，简单的滤波器传递函数在滤波过程中可能过多地滤除图像信息

最优陷波:1.分离干扰模式的各个主要贡献;2.从被污染图像中减去该模式的一个可变化加权部分

假设 G 是被污染图像 DFT 1.算出 $\eta$ ,  $N(u,\nu) = H_{NP}(u,\nu)G(u,\nu)$   $\eta(x,y) =$

$F^{-1}\{H_{NP}(u,\nu)G(u,\nu)\}$   $\hat{f}(x,y) = g(x,y) - w(x,y)\eta(x,y)$

2.求可变化加权部分 $w(x,y) = \frac{\eta\bar{\eta}-\bar{\eta}\bar{\eta}}{\eta^2-\bar{\eta}^2}$

### 线性位置不变退化

如果退化模型为线性和位置不变的,则满足 Ch5 顶部建模的空域,频域表达式.许多退化类型可以近似表示为线性的位置不变过程；而非线性的与位置有关的技术难以求解。

### 估计退化函数

1.观察法:收集图像自身的信息来估计 H; 2.试验法:使用与获取退化图像的设备相似的装置; 3.数学建模法:建立退化模型，模型要把引起退化的环境因素考虑在内

### 逆滤波

$\hat{F}(u,v) = \frac{G(u,v)}{H(u,v)} = F(u,v) + \frac{N(u,v)}{H(u,v)}$ ;问题:N 一般未知,挡 H 的任何元素为 0 或者较小时,后面分数项主导了结果;解决方法:限制滤波频率,从而减少遇到零值的可能性(H(0,0)的值最大).

### 最小均方误差（维纳）滤波

$S_{f(u,v)} = |F(u,v)|^2$  为未退化函数功率；  $S_{\eta}(u,v) = |N(u,v)|^2$  为噪声功率谱；

$\hat{F}(u,v) = \left[ \frac{1}{H(u,v)} \frac{|H(u,v)|^2}{|H(u,v)|^2 + S_{\eta}(u,v)/S_f(u,v)} \right] G(u,v)$

假设两个功率谱之比为常数 K,有  $\hat{F}(u,v) = \left[ \frac{1}{H(u,v)} \frac{|H(u,v)|^2}{|H(u,v)|^2 + K} \right] G(u,v)$  K 通常在复原时调整

信噪比:频域 SNR =  $\frac{\sum_{u=0}^{M-1} \sum_{v=0}^{N-1} |F(u,v)|^2}{\sum_{u=0}^{M-1} \sum_{v=0}^{N-1} |N(u,v)|^2}$  空域SNR =  $\frac{\sum_{x=0}^{M-1} \sum_{y=0}^{N-1} \hat{f}(x,y)^2}{\sum_{x=0}^{M-1} \sum_{y=0}^{N-1} [f(x,y)-\hat{f}(x,y)]^2}$  均方误差 MSE =  $\frac{1}{MN} \sum_{x=0}^{M-1} \sum_{y=0}^{N-1} [f(x,y) - \hat{f}(x,y)]^2$

### 约束最小二乘方滤波

约束 $|g-H\hat{f}|^2 = |\eta|^2$  准则函数最小化 $C = \sum_{x=0}^{M-1} \sum_{y=0}^{N-1} [\nabla^2 f(x,y)]^2$

最佳问题的解 $\hat{F}(u,v) = \left[ \frac{H^*(u,v)}{|H(u,v)|^2 + \gamma} \frac{S_f(u,v)}{S_{\eta}(u,v)} \right] G(u,v)$  当 $\gamma = 0$  时,退变成逆滤波

P(u, v) 为p(x, y) 的傅里叶变换 p(x,y)为拉普拉斯空间卷积核

估计 $\gamma$ :设 $\|\mathbf{r}\|^2 = \|g - H\hat{f}\|^2$ ,通过 $\|\mathbf{r}\|^2 = \|\eta\|^2 \pm a$ ,由于 r 关于 $\gamma$ 单调, $\|\mathbf{r}\|^2 < \|\eta\|^2 - a$ 增加 $\gamma$ ; $\|\mathbf{r}\|^2 > \|\eta\|^2 + a$ 减少 $\gamma$

估计 $\|\eta\|^2:\|\eta\|^2 = MN[\sigma_{\eta}^2 + \bar{\eta}^2]$  用方差和均值

### 几何均值滤波

$\hat{F}(u,v) = \left[ \frac{H^*(u,v)}{|H(u,v)|^2} \right]^a \left[ \frac{H^*(u,v)}{|H(u,v)|^2 + \beta \left[ \frac{S_f(u,v)}{S_{\eta}(u,v)} \right]} \right]^{1-\alpha}$

当  $\alpha = 0$  时,滤波器退化为滤波滤波器;当  $\alpha = 0$  时,滤波器退化为参数维纳滤波器;当  $\alpha = 0, \beta = 1$  时,滤波器退化为标准维纳滤波器;当  $\alpha = \frac{1}{2}$  时,滤波器为几何均值滤波器;当  $\beta = 1, \alpha$  减到  $\frac{1}{2}$  以上,它接近滤波器,当  $\beta = 1, \alpha$  减到  $\frac{1}{2}$  以下,它接近维纳滤波器;当  $\beta = 1, \alpha = \frac{1}{2}$  时,它被称为谱均衡滤波器;

## 第六章：彩色图像处理

### 彩色基础

红,绿,蓝量用 X,Y,Z 表示,叫三色值；三色系数定义:  $x = \frac{X}{X+Y+Z}$ ;...;  $x+y+z = 1$ ;

描述彩色光源的质量的三个基本量：辐射亮度：从光源流出的总能量，单位为瓦特(W)；发光强度：观察者从光源感知的总能量，单位为流明(红外的光强接近零)；亮度：主观描绘子，不可测量，体现发光强度的消色概念。

区分不同颜色:色调:感知的主导色，跟主波长相关;饱和度:相对纯度，与一种色调混合的白光亮;亮度:发光强度的消色概念.色调和饱和度一起称为色度

### 彩色模型

### RGB

针对彩色显色器和彩色摄像机开发,一个颜色有 8 比特,2<sup>8</sup> = 256种颜色,全彩色则是 24 比特图像





二维高斯函数， $G(x,y)=e^{-\frac{x^2+y^2}{2\sigma^2}}$ ；高斯拉普拉斯(LogG)函数: $\nabla^2G(x,y)=\left(\frac{x^2+y^2-2\sigma^2}{\sigma^4}\right)e^{-\frac{x^2+y^2}{2\sigma^2}}$   
**Marr-Hildreth 算法** $g(x,y)=[\nabla^2G(x,y)]\star f(x,y)=\nabla^2[G(x,y)\star f(x,y)]$  寻找 g(x,y)的过零点来确定 f(x,y)中边缘的位置

高斯差分(DoG)函数近似的 LoG 函数  $D_G(x,y)=\frac{1}{2\pi\sigma_1^2}e^{-\frac{x^2+y^2}{2\sigma_1^2}}-\frac{1}{2\pi\sigma_2^2}e^{-\frac{x^2+y^2}{2\sigma_2^2}}$   
**Canny 坎尼** 1.用一个高斯滤波器平滑输入图 $f_{\text{G}}(x,y)=G(x,y)\star f(x,y)$  2.计算梯度幅值图像 $M_S$  (L2)和角度图像 $\alpha(x,y)=\tan^{-1}\left[\frac{g_y(x,y)}{g_x(x,y)}\right]$  3.对梯度幅值图像应用非极大值抑制进行细化边缘 4.用双阈值处理和连通性分析来检测与连接边缘  
非极大值抑制 寻找最接近  $\alpha$  方向  $\text{dk}$ ,修改值 $g_N(x,y)=\begin{cases} M_s(x,y) & \text{如果 } M_s(x,y) \text{ 小于 } d_k \text{ 方向上的两个邻点值} \\ M_s(x,y) & \text{否则} \end{cases}$   
双阈值化处理 $g_{NH}(x,y)=g_N(x,y)\geq T_H$ 强边缘(存在间断)  $g_{NL}(x,y)=g_N(x,y)\geq T_L$ 强边缘+弱边缘  $g_{N\text{L}}(x,y)=g_{NL}(x,y)-g_{NH}(x,y)$  弱边缘

连接边缘点

满足条件则连接  $|M(s,t)-M(x,y)|\leq E\ |\alpha(s,t)-\alpha(x,y)|\leq A$

**霍夫变换**  $\rho(\theta)=x\cos\theta+y\sin\theta=R\cos(\theta-\phi)=\sqrt{x^2+y^2}\cos\left(\theta-\arctan\frac{x}{y}\right)$

阈值处理

**单阈值**  $g(x,y)=\begin{cases} 1 & f(x,y)\geq T \\ 0 & f(x,y)\leq T \end{cases}$       **双阈值**  $g(x,y)=\begin{cases} a, & f(x,y)>T_2 \\ b, T_1<f(x,y)\leq T_2 \\ c, & f(x,y)\leq T_1 \end{cases}$

基本的全局阈值化

- 为全局阈值T选择一个初始估计值。
- 在  $g(x,y)=\begin{cases} 1, & f(x,y)>T \\ 0, & f(x,y)\leq T \end{cases}$  中用T分割图像。这将产生两组像素：由灰度值大于T的所有像素组成的G<sub>1</sub>,由所有小于等于T的像素组成的G<sub>2</sub>
- 对 G<sub>1</sub> 和 G<sub>2</sub> 中的像素分别计算平均灰度值(均值)m<sub>1</sub>和 m<sub>2</sub>
- 在m<sub>1</sub>和m<sub>2</sub>之间计算一个新的阈值： $T=\frac{m_1+m_2}{2}$
- 重复步骤2 到步骤4,直到连续迭代中的两个T值间的差小于某个预定义的值ΔT为止。

OSTU 方法:

$n_i$  表示灰度级 i 的像素数,  $M\ast N=\sum_{i=0}^{L-1}n_i$ ;  $p_i=\frac{n_i}{MN}$ ;  $\sum_{i=0}^{L-1}p_i=1, \quad p_i\geq 0$   
分为两类  $c_1,c_2$  累计概率  $P_1(k)=\sum_{i=0}^k p_i$ ;  $P_2(k)=\sum_{i=k+1}^{L-1} p_i=1-P_1(k)$   
平均灰度  $m_1(k)=\frac{1}{P_1(k)}\sum_{i=0}^k ip_i$ ;  $m_2(k)=\frac{1}{P_2(k)}\sum_{i=k+1}^{L-1} ip_i$   
k 级累计灰度  $m(k)=\sum_{i=0}^k ip_i$  整个图像平均灰度  $m_G=\sum_{i=0}^{L-1} ip_i$   
约束条件  $P_1m_1+P_2m_2=m_G$ ;  $P_1+P_2=1$   
全局方差  $\sigma_G^2=\sum_{i=0}^{L-1}(i-m_G)^2p_i$   
类间方差  $\sigma_B^2=P_1(m_1-m_G)^2+P_2(m_2-m_G)^2=P_1P_2(m_1-m_2)^2=\frac{(m_GP_1-m_2)^2}{P_1(1-P_1)}$   
(选择 k 最大化  $\sigma_B^2$ )  
扩展到多阈值  $\sigma_B^2=\sum_{k=1}^K P_k(m_k-m_G)^2$ ;  $\sigma_B^2(k_1^*,k_2^*,\cdots,k_{K-1}^*)=\max_{0<k_1<k_2<\cdots k_K<L-1}\sigma_B^2(k_1,k_2,\cdots,k_{K-1})$

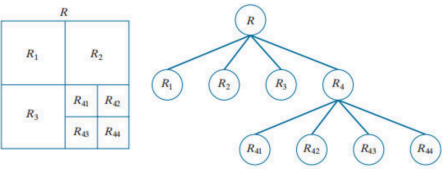
区域生长 分离 聚合

区域生长

- 初始种子区域**: 从种子数组 S(x,y)中找到所有连通分量，并将这些区域标记为 1，其他位置标记为 0。
- 条件筛选**: 根据谓词 Q 对图像 f(x,y)进行筛选，形成新的图像 f，其中满足条件的像素标记为 1，否则为 0。
- 区域扩展**: 将所有在图像 f 中 8 连通到种子点的 1 值点添加到 S 中，形成新的图像 g。
- 连通区域标记**: 用不同的标签标记图像 g 中的每个连通分量，得到最终的区域生长分割结果。

**分离聚合** 令 R 表示整个图像区域，Q 是针对区域的一个逻辑谓词比如

$Q=\begin{cases} \text{true} & \sigma>\alpha\wedge 0<m<b \\ \text{false} & \text{otherwise} \end{cases}$   
1 把满足 Q(Ri)=FALSE 的任何 Ri 区域分离为四个不相交的子象限区域；  
2 无法进一步分离时，聚合满足谓词逻辑 $Q(R_j\cup R_k)=\text{TRUE}$ 的任意两个邻接区域 Rj 和 Rk；  
3 在无法进一步聚合时停止。



分水岭变换

- 梯度图像:，算法使用图像的梯度图像  $g(x,y)$ ，其中包含多个区域极小值  $M_{\{1\}},M_{\{2\}},M_{\{g\}}$ 。这些极小值对应于图像中的局部低谷。
- 汇水盆地: 每个区域极小值  $M_{\{i\}}$  都有一个与之相关联的汇水盆地  $C(M_i)$ ，这些汇水盆地中的点形成一个连通分量。
- 淹没过程: 算法通过模拟水位从最小值 min 逐渐上升到最大值 max 的过程来分割图像。在每个水位  $n$ ，集合  $T[n]$  包含所有灰度值小于  $n$  的点。
- 二值图像: 在每个水位  $n$ ， $T[n]$  可以被视为一幅二值图像，其中黑点表示位于平面  $g(x,y)=n$  下方的点。
- 汇水盆地分割: 随着水位上升，算法通过比较当前水位  $n$  的连通分量与前一水位  $n-1$  的汇水盆地，来确定是否需要构建水坝以防止不同汇水盆地的水流溢出。
- 水坝构建: 当水位上升到某个点时，如果发现有多于个汇水盆地的水流可能溢出，算法会在这些汇水盆地之间构建水坝（即分割线），以阻止水流混合。

缺点:受噪声影响大;容易过度分割

分割中运动的使用

基本方法: 逐像素地比较  $t_i$  和  $t_j$  两帧图像  $f(x,y)$  可以获得相应的差值图像:  $d_{ij}(x,y)=\begin{cases} 1 & |f(x,y,t_i)-f(x,y,t_j)|>T \\ 0 & \text{其他} \end{cases}$  其中  $T$  是一个非负阈值。

累积差值:将参考图像  $R(x,y)$  与序列中的每个后续图像进行比较。当当前图像中的像素与参考图像**不同**时，累积差分图像中每个像素的计数器会增加。在检查第  $t$  帧时，累积差分图像显示该像素与参考图像中对应像素的差异次数。

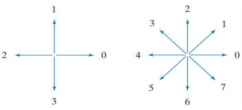
绝对 ADI:  $A_k(x,y)=\begin{cases} A_{k-1}(x,y)+1 & \text{如果 } |R(x,y)-f(x,y,t_k)|>T \\ A_{k-1}(x,y) & \text{否则} \end{cases}$   
正 ADI:  $P_k(x,y)=\begin{cases} P_{k-1}(x,y)+1 & \text{如果 } R(x,y)-f(x,y,t_k)>T \\ P_{k-1}(x,y) & \text{否则} \end{cases}$   
负 ADI:  $N_k(x,y)=\begin{cases} N_{k-1}(x,y)+1 & \text{如果 } R(x,y)-f(x,y,t_k)<-T \\ N_{k-1}(x,y) & \text{否则} \end{cases}$

第十一章 特征提取

边界预处理

**跟踪二值图像中 1 值区域 R 的边界算法**:从左上角标记为 1 的点开始,按顺时针找 8 邻域中下一个 1,然后继续从下一个 1 开始执行算法,直到回到起点

弗里曼链码 基于线段的 4 连通或 8 连通，使用一种编号方案对每个线段的方向进行编码。用于表示由顺次连接的具有指定长度和方向的直线段组成的边界。



从起点开始,往哪个箭头方向走就标记哪个数字,直到回到起点;形状和链码是一一对应的;改变起点会让链码循环移位

**归一化**:循环移位后数字最小的链码

**差分**:相邻的做差,i 为当前 a[i+1]-a[i],最后加一个起点-终点;之后对 4 或者 8 取 mod; $D=[(C_2-C_1)\bmod m,(C_3-C_2)\bmod m,...,(C_1-C_n)\bmod m]$

**形状数**(差分+归一化) 将码按一个方向循环，使其构成的自然数最小序列;形状数的阶n 定义为形状数中的数字的数量。

**斜率链码** 在曲线周围放置**等长**的直线段得到，其中的直线段的端点与曲线相接,直线段的斜率记录链码

**最小周长多边形**:使用尽量少的线段来得到给定边界的基本形状;;先找所有凸起和凹陷点,然后凹

顶点需要镜像; $A=\begin{bmatrix} a_x & a_y & 1 \\ b_x & b_y & 1 \\ c_x & c_y & 1 \end{bmatrix}$  abc 三点行列式,逆时针行列式为 正,顺时针为负,共线为 0

- 初始化**: 定义起始点  $V_0$ 、W 爬行点  $W_c$ 、B 爬行点  $B_c$ 。设置当前检查的顶点为  $V_k$ 。
- 条件检查**: 从  $W_c=B_c=V_0$  开始，依次检查  $V_k$  和  $V_k+1$  是否满足以下任一条件：
  - $V_k$  位于线段对  $(V_L,W_c)$  的直线的正侧（即符号函数  $sgn(V_L,W_c,V_k)>0$ ）。
  - $V_k$  位于线段对  $(V_L,W_c)$  的直线负侧或共线，同时  $V_k$  位于线段对  $(V_L,B_c)$  的直线的正侧（即  $sgn(V_L,W_c,V_k)<0$  且  $sgn(V_L,B_c,V_k)>0$ ）。
  - $V_k$  位于线段对  $(V_L,B_c)$  的直线的负侧（即  $sgn(V_L,B_c,V_k)<0$ ）。
- 爬行更新**: 若满足以上条件之一，则更新爬行点  $W_c$  或  $B_c$ ，并继续搜索下一个顶点。
- 终止条件**: 当再次到达起始点（第一个顶点）时停止。所找到的点（多边形的顶点）即为 MPP 的顶点集合。

**标记图**:把**质心到边界的距离**画成**角度的函数**。将原始的二维边界简化为一维函数表示。

边界特征描述子

**边界 B 的直径**  $diameter(B)=\max_{i,j}[D(p_i,p_j)]$  D 为距离测度，pi 和 pj 是边界上的点。  
**长度**  $length_m=\left[(x_2-x_1)^2+(y_2-y_1)^2\right]^{1/2}$  **方向**  $angle_m=\arctan\left[\frac{y_2-y_1}{x_2-x_1}\right]$  由长轴端点定义  
曲线的**曲折度**定义为斜率链码链元素的绝对值之和: $\tau=\sum_{i=1}^n|\alpha_i|$ ,式中的 n 是斜率链码中的元素数量,|α<sub>i</sub>|是链码中元素的值(斜率变化)。  
**傅里叶描述子**:二维边界可以被视为复数从而一维化表示为  $s(k)=x(k)+jy(k)$   
边界的傅里叶描述子  $a(u)=\sum_{k=0}^{K-1}s(k)e^{-j2\pi uk/K}$   $s(k)=\frac{1}{K}\sum_{u=0}^{K-1}a(u)e^{j2\pi uk/K}$   
只采用前 P 个系数(去除高频系数)  $\hat{s}(k)=\frac{1}{K}\sum_{u=0}^{P-1}a(u)e^{j2\pi uk/K}$   
**性质**: 旋转:  $s_r(k)=s(k)e^{i\theta}$ ,  $a_r(u)=a(u)e^{i\theta}$ ; 平移:  $s_r(k)=s(k)+\Delta_{iy}$ ,  $a_r(u)=a(u)+\Delta_{iy}\delta(u)$ ; 缩放:  $s_s(k)=as(k)$ ,  $a_s(u)=\alpha a(u)$ ; 起点:  $s_p(k)=s(k-k_0)$ ,  $a_p(u)=\alpha(u)e^{-j2\pi k_0u/K}$   
**统计矩** 1.把 g(r)的幅度视为离散随机变量 z，形成直方图 p(zi),A 是灰度值最大的区间数量。将 p 归一化，使其元素之和等于 1，那么 p(zi)是灰度值 zi 的概率估计;  
z 关于其平均值的 n 阶矩为  $\mu_n(z)=\sum_{i=0}^{A-1}(z_i-m)^np(z_i)$ ;m 是 z 的均值  $m=\sum_{i=0}^{A-1}z_ip(z_i)$ ,  $\mu_2$  是 z 的方差，只需要前几个矩来区分明显不同形状的标记图。  
2.将 g(r)面积归一化为 1，并视为直方图，g(ri)可被视为值 ri 出现的概率。r 是随机变量 K 是边界上的点数， $\mu_n(r)$  与标记图 g(r)形状直接相关  
矩是  $\mu_n(r)=\sum_{i=0}^{K-1}(r_i-m)^ng(r_i)$  其中  $m=\sum_{i=0}^{K-1}r_ig(r_i)$

区域特征描述子

**面积** A 为区域中的**像素数量**。**周长** p 是其边界的长度;**紧致度**（无量纲） $\frac{p^2}{A}$ ;**圆度**（无量纲） $\frac{4\pi A}{p^2}$ ;**有效直径**  $d_e=2\sqrt{\frac{A}{\pi}}$   
偏心率 标准椭圆 eccentricity =  $\frac{c}{a}=\frac{\sqrt{a^2-b^2}}{a}=\sqrt{1-(b/a)^2}$   $a\geq b$   
任意方向椭圆(协方差矩阵的特征值) eccentricity =  $\sqrt{1-(\lambda_2/\lambda_1)^2}$   $\lambda_1\geq\lambda_2$   
拓朴描述子:孔洞的数量 H 和连通分量 C 的数量,定义欧拉数 E = C - H  
顶点数表示为 V，将边数表示为 Q，将面数表示为 F 时，V-Q+F=E  
纹理:统计方法(和统计矩 1 类似),**光滑度**  $R=1-\frac{1}{1+\sigma^2(z)}$   $\sigma^2$  是方差  $\mu_2$  ;**一致性**  $U=\sum_{i=0}^{L-1}p^2(z_i)$   
**熵**  $p=-\sum_{i=0}^{L-1}p(z_i)\log_2p(z_i)$

共生矩阵中的元素 $g_{ij}$ 值定义为图像 f 中灰度 $(z_i,z_j)$ 的像素对**出现的次数**;像素对不一定是左右的,可以跨格子:从 $z_i$ 到 $z_j$   
下面是共生矩阵  $(K\times K)$  的描述子,  $p_{i,j}$  等于 G 中第 i 行第 j 列元素之和  
• **最大概率**: $\max_{i,j}p_{ij}$  度量 G 的最强响应，值域是 [0,1]  
• **相关**: $\frac{\sum_{i=1}^K\sum_{j=1}^K(i-j)p_{ij}}{\sigma_{i-j}}=\frac{\sum_{i=1}^K\sum_{j=1}^K(i-j)m_{ij}}{\sigma_{i-j}}$   $\sigma_{i-j}\neq 0, \sigma_c\neq 0$  一个像素在整个图像上与其相邻像素有多相关的测度，值域是 [-1,1]。-1 对应完全负相关，1 对应完全正相关。标准差为 0 时，该测度无定义  
• **对比度**: $\sum_{i=1}^K\sum_{j=1}^K(i-j)^2p_{ij}$  一个像素在整个图像上与其相邻像素之间的灰度对比度的测度，值域是从 0 到  $(K-1)^2$   
• **均匀性（也称能量）**: $\sum_{i=1}^K\sum_{j=1}^Kp_{ij}^2$  均匀性的一个测度，值域为 [0,1]，恒定图像的均匀性为 1  
• **同质性**: $\sum_{i=1}^K\sum_{j=1}^K\frac{p_{ij}}{1+|i-j|}$  G 中对角分布的元素的空接近度的测度，值域为 [0,1]。当 G 是对角阵时，同质性达到最大值  
• **熵**  $-\sum_{i=1}^K\sum_{j=1}^Kp_{ij}\log_2p_{ij}$  G 中元素的随机性的测度。当所有  $p_{ij}$  均匀分布时，熵取最大值，因此最大值为  $2\log_2K$

极坐标下的频谱函数  $S(r)=\sum_{\theta=0}^{\tau}S_{\theta}(r)$   $S(\theta)=\sum_{r=1}^{R_0}S_r(\theta)$   
矩不变量:大小为 MxN 的数字图像 f(x,y)的二维(p+q)阶矩为  $m_{pq}=\sum_{x=0}^{M-1}\sum_{y=0}^{N-1}x^py^qf(x,y)$  ;  
(p+q)阶中心矩为  $\mu_{pq}=\sum_{x=0}^{M-1}\sum_{y=0}^{N-1}(x-\bar{x})^p(y-\bar{y})^qf(x,y)$   $\bar{x}=\frac{m_{10}}{m_{00}}$ ,  $\bar{y}=\frac{m_{01}}{m_{00}}$   
归一化(p+q)阶中心矩为  $\eta_{pq}=\frac{\mu_{pq}}{\mu_{00}^{p+q/2+1}}$

主成分描述子

x 是 n 维列向量,总体平均向量  $m_x=E(x)$ ,向量总体的协方差矩阵(nxn) $C_x=E\{(x-m_x)(x-m_x)^T\}$   
霍特林变换:令 A 是一个矩阵，这个矩阵的各行由 Cx 的特征向量构成; $y=A(x-m_x)$   
可以证明:  $m_y=E\{y\}=0$

y 的协方差矩阵:  $C_y=AC_xA^T$ ;  $C_y=\begin{bmatrix} \lambda_1 & & 0 \\ & \lambda_2 & \\ 0 & & \lambda_n \end{bmatrix}$  对角阵对角元。

可通过 y 恢复 x： $x=A^{-1}y+m_x=A^Ty+m_x$   
近似恢复 x： $\hat{x}=A_k^Ty+m_x$   
代表 k 个最大特征值的 k 个特征向量形成的矩阵。  
恢复误差： $\epsilon_{ms}=\sum_{j=1}^n\lambda_j-\sum_{j=1}^k\lambda_j=\sum_{j=k+1}^n\lambda_j$